

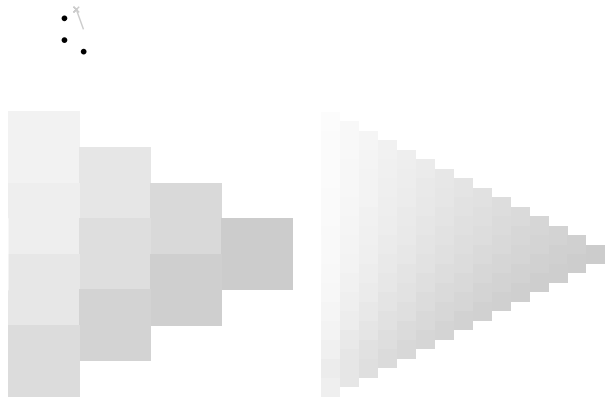
⋮

⋮

⋮

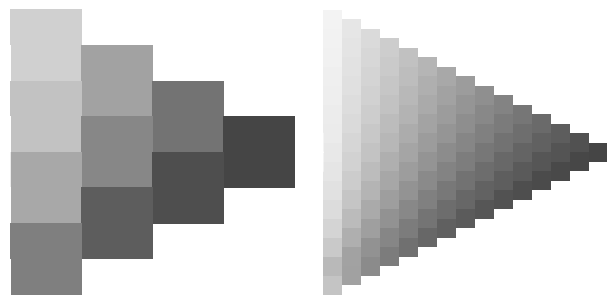
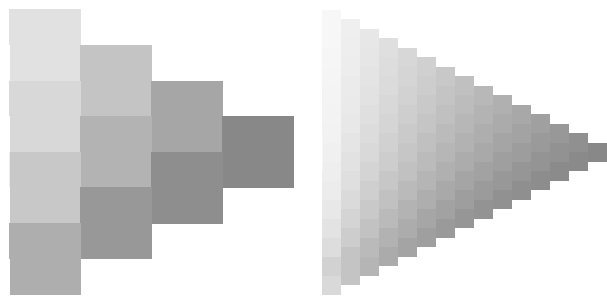
⋮

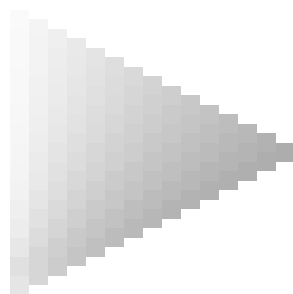
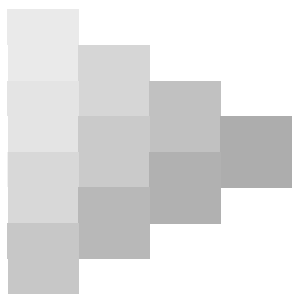
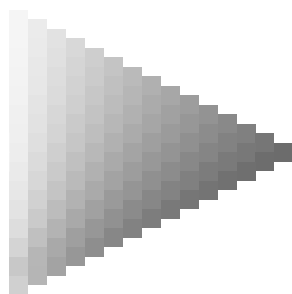
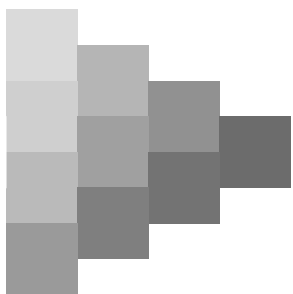
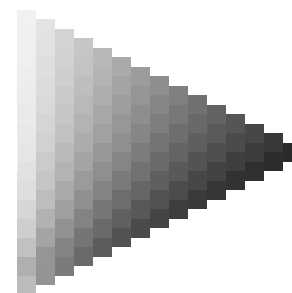
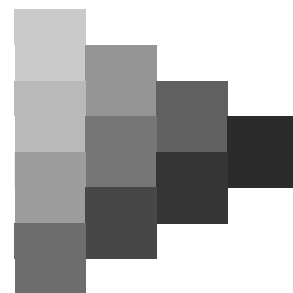
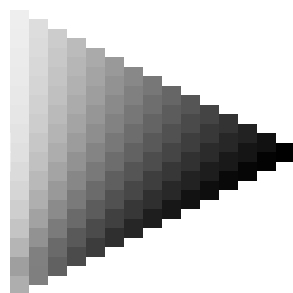
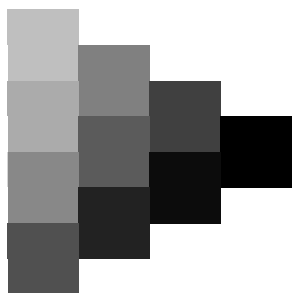
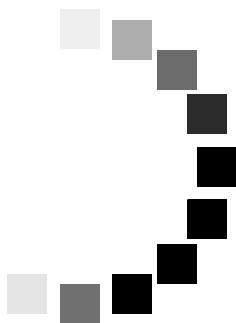
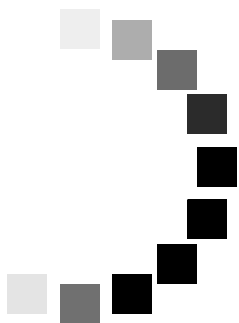
⋮

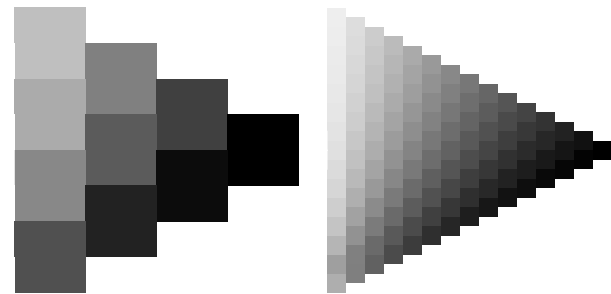
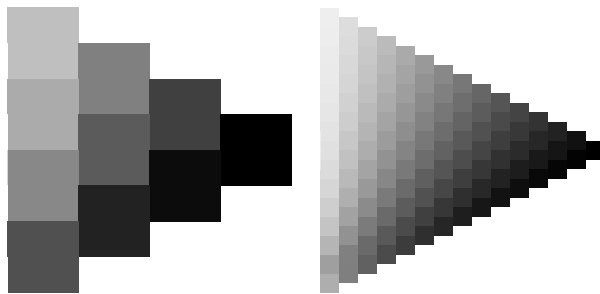
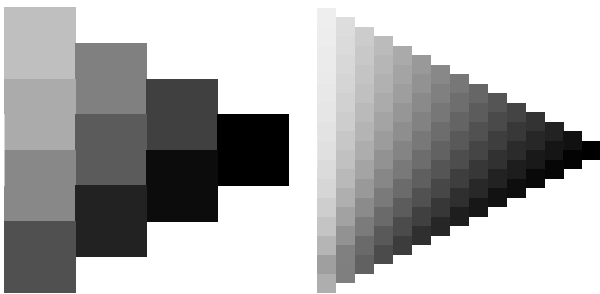
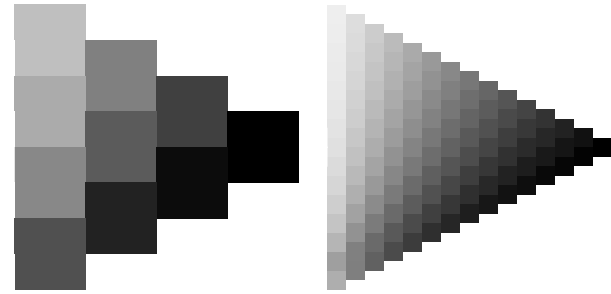
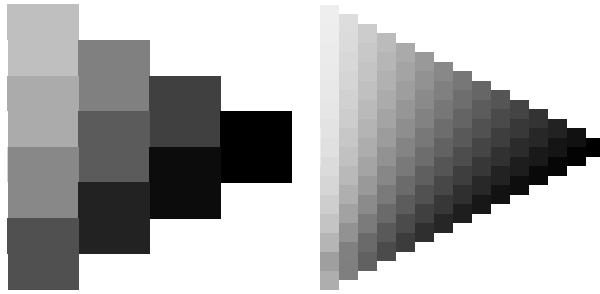
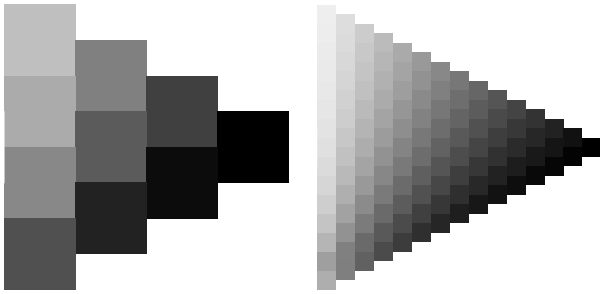
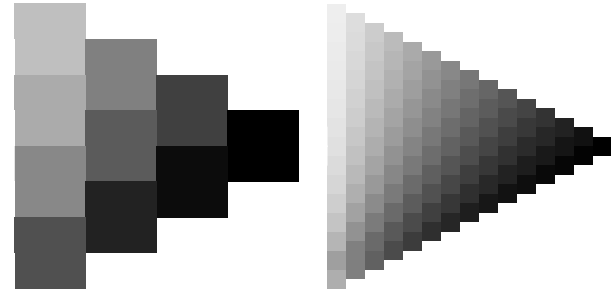
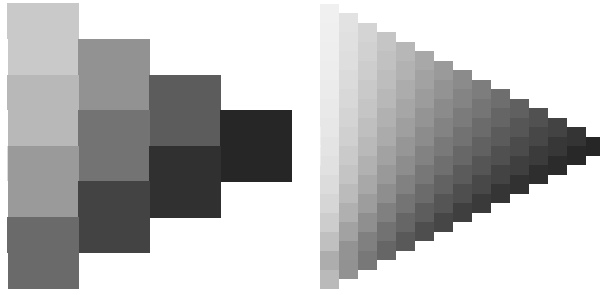
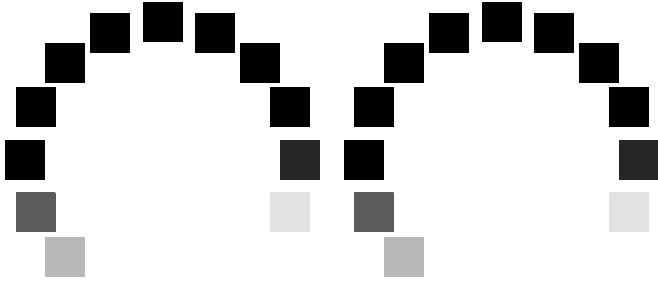


⋮

⋮







Ein und Ausgabe: Farbmetrisches Drucker-Reflexiv-System ORS19_96a
 Daten für jede Farbe:
 $u^*_c =$ Nummer $N_c = 00...15$
 Elementar-Bunttonexte:
 $u^*_c = 16$ Bunttonexte $r00g, r25g, \dots, b75r$
 Kontrastreduzierungs-faktor:
 $c_{kr} = 1.0$

ORS19_96a adaptierte CIELAB-Daten	LAB/LCH/ab-Ma: 49 66 32
L^* , a^* , b^* , b^* , C_{ab} , h^* , u^*_c , u^*_c	L^* , a^* , b^* , b^* , C_{ab} , h^* , u^*_c , u^*_c
00g	48.88 66.47 31.67 73.63 25 m84g
02g	55.85 62.39 47.48 70.17 42 o17g
05g	65.45 55.32 58.37 68.17 59 o42g
07g	75.19 17.82 69.41 71.66 76 o67g
10g	87.03 1.35 82.83 82.19 92 o92g
12g	80.72 25.01 69.5 73.86 110 z00g
15g	70.64 39.54 51.97 65.3 127 o40g
17g	61.93 52.1 36.83 63.8 145 z72g
20g	52.8 65.28 20.93 68.56 162 i90g
25g	45.7 69.58 8.39 50.28 190 i66g
30g	57.82 38.4 28.92 48.07 217 i72g
35g	55.5 22.05 45.95 50.97 244 i11g
40g	41.6 1.37 45.01 45.03 272 c50g
45g	29.0 25.08 43.13 49.89 300 o60g
50g	38.04 46.53 28.39 54.51 329 c56g
55g	49.48 72.88 3.76 72.98 357 m11g

Ein und Ausgabe: Farbmetrisches Drucker-Reflexiv-System ORS19_96, L*=19_96 für relative CIELAB-Buntton $h^* = lab^*h^* = h_{ab}/360 = 0.071$ $u^*_c = r00g$
 Daten für jede Farbe:
 lab^*h^* und lab^*ica^*
 Bunttonexte:
 $u^*_c = r00g$ $u^*_d = m84g$
 Kontrastreduzierungs-faktor:
 $c_{kr} = 1.0$
 Dreiecks-Helligkeit l^*

ORS19_96a adaptierte CIELAB-Daten	LAB/LCH/ab-Ma: 49 66 32
L^* , a^* , b^* , b^* , C_{ab} , h^* , u^*_c , u^*_c	L^* , a^* , b^* , b^* , C_{ab} , h^* , u^*_c , u^*_c
00g	48.88 66.47 31.67 73.63 25 m84g
02g	55.85 62.39 47.48 70.17 42 o17g
05g	65.45 55.32 58.37 68.17 59 o42g
07g	75.19 17.82 69.41 71.66 76 o67g
10g	87.03 1.35 82.83 82.19 92 o92g
12g	80.72 25.01 69.5 73.86 110 z00g
15g	70.64 39.54 51.97 65.3 127 o40g
17g	61.93 52.1 36.83 63.8 145 z72g
20g	52.8 65.28 20.93 68.56 162 i90g
25g	45.7 69.58 8.39 50.28 190 i66g
30g	57.82 38.4 28.92 48.07 217 i72g
35g	55.5 22.05 45.95 50.97 244 i11g
40g	41.6 1.37 45.01 45.03 272 c50g
45g	29.0 25.08 43.13 49.89 300 o60g
50g	38.04 46.53 28.39 54.51 329 c56g
55g	49.48 72.88 3.76 72.98 357 m11g

Ein und Ausgabe: Farbmetrisches Drucker-Reflexiv-System ORS19_96, L*=19_96 für relative CIELAB-Buntton $h^* = lab^*h^* = h_{ab}/360 = 0.117$ $u^*_c = r25g$
 Daten für jede Farbe:
 lab^*h^* und lab^*ica^*
 Bunttonexte:
 $u^*_c = r25g$ $u^*_d = o17g$
 Kontrastreduzierungs-faktor:
 $c_{kr} = 1.0$
 Dreiecks-Helligkeit l^*

ORS19_96a adaptierte CIELAB-Daten	LAB/LCH/ab-Ma: 56 71 42
L^* , a^* , b^* , b^* , C_{ab} , h^* , u^*_c , u^*_c	L^* , a^* , b^* , b^* , C_{ab} , h^* , u^*_c , u^*_c
00g	48.88 66.47 31.67 73.63 25 m84g
02g	55.85 62.39 47.48 70.17 42 o17g
05g	65.45 55.32 58.37 68.17 59 o42g
07g	75.19 17.82 69.41 71.66 76 o67g
10g	87.03 1.35 82.83 82.19 92 o92g
12g	80.72 25.01 69.5 73.86 110 z00g
15g	70.64 39.54 51.97 65.3 127 o40g
17g	61.93 52.1 36.83 63.8 145 z72g
20g	52.8 65.28 20.93 68.56 162 i90g
25g	45.7 69.58 8.39 50.28 190 i66g
30g	57.82 38.4 28.92 48.07 217 i72g
35g	55.5 22.05 45.95 50.97 244 i11g
40g	41.6 1.37 45.01 45.03 272 c50g
45g	29.0 25.08 43.13 49.89 300 o60g
50g	38.04 46.53 28.39 54.51 329 c56g
55g	49.48 72.88 3.76 72.98 357 m11g

Ein und Ausgabe: Farbmetrisches Drucker-Reflexiv-System ORS19_96, L*=19_96 für relative CIELAB-Buntton $h^* = lab^*h^* = h_{ab}/360 = 0.164$ $u^*_c = r50g$
 Daten für jede Farbe:
 lab^*h^* und lab^*ica^*
 Bunttonexte:
 $u^*_c = r50g$ $u^*_d = o42g$
 Kontrastreduzierungs-faktor:
 $c_{kr} = 1.0$
 Dreiecks-Helligkeit l^*

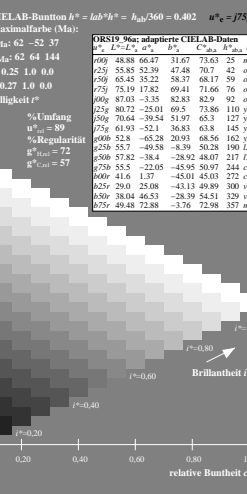
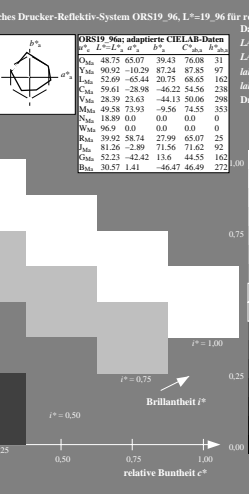
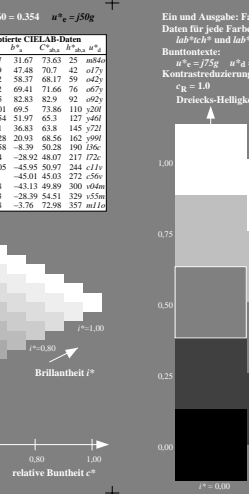
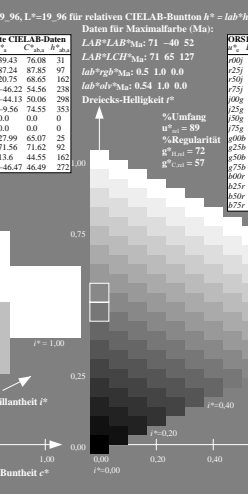
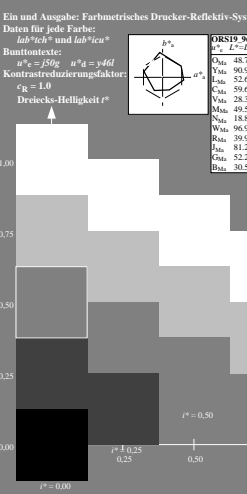
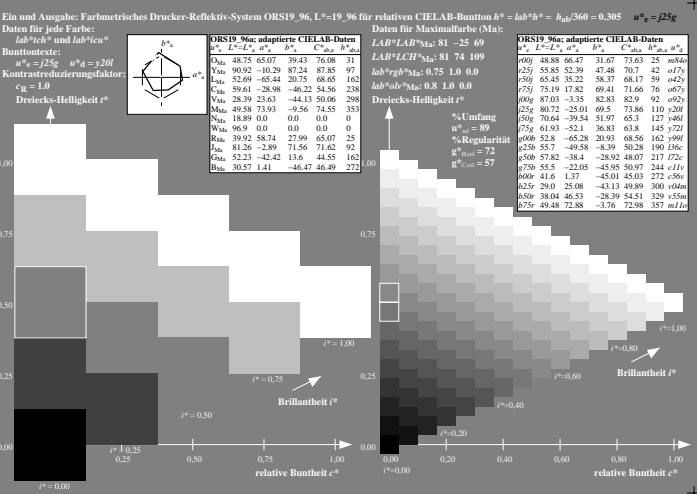
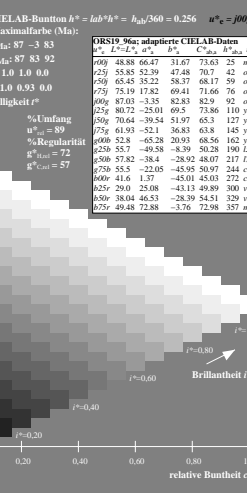
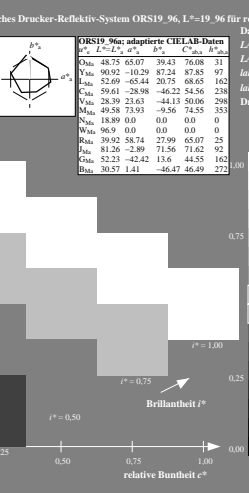
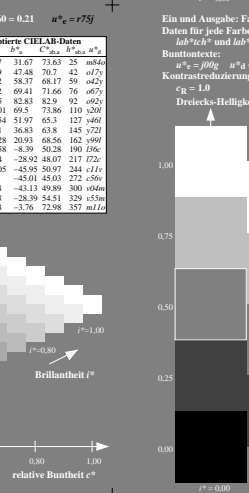
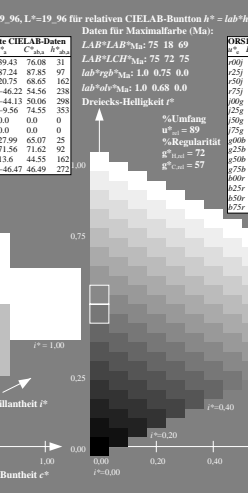
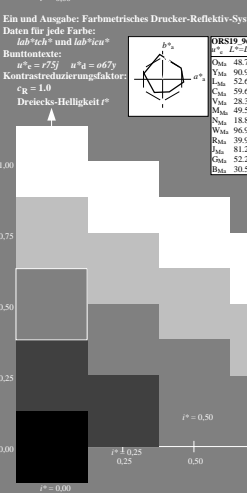
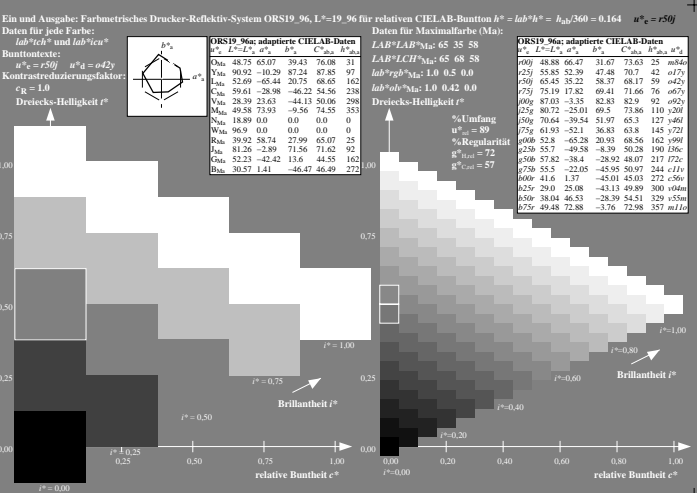
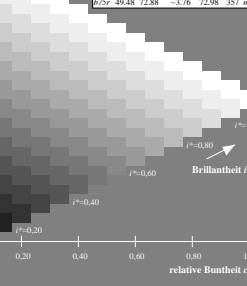
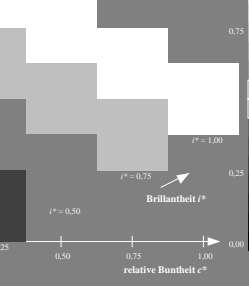
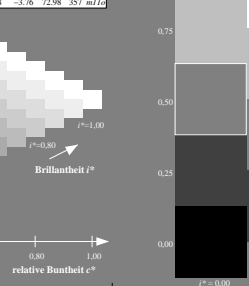
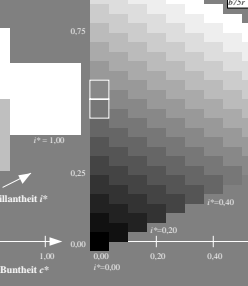
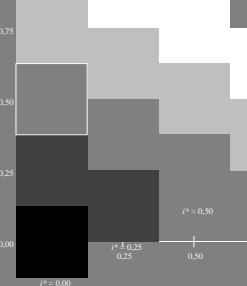
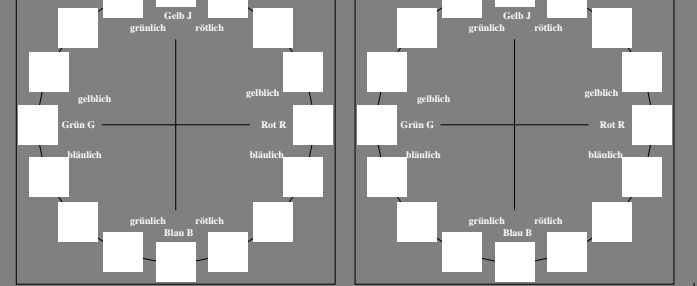
ORS19_96a adaptierte CIELAB-Daten	LAB/LCH/ab-Ma: 65 83 58
L^* , a^* , b^* , b^* , C_{ab} , h^* , u^*_c , u^*_c	L^* , a^* , b^* , b^* , C_{ab} , h^* , u^*_c , u^*_c
00g	48.88 66.47 31.67 73.63 25 m84g
02g	55.85 62.39 47.48 70.17 42 o17g
05g	65.45 55.32 58.37 68.17 59 o42g
07g	75.19 17.82 69.41 71.66 76 o67g
10g	87.03 1.35 82.83 82.19 92 o92g
12g	80.72 25.01 69.5 73.86 110 z00g
15g	70.64 39.54 51.97 65.3 127 o40g
17g	61.93 52.1 36.83 63.8 145 z72g
20g	52.8 65.28 20.93 68.56 162 i90g
25g	45.7 69.58 8.39 50.28 190 i66g
30g	57.82 38.4 28.92 48.07 217 i72g
35g	55.5 22.05 45.95 50.97 244 i11g
40g	41.6 1.37 45.01 45.03 272 c50g
45g	29.0 25.08 43.13 49.89 300 o60g
50g	38.04 46.53 28.39 54.51 329 c56g
55g	49.48 72.88 3.76 72.98 357 m11g

Ein und Ausgabe: Farbmetrisches Drucker-Reflexiv-System ORS19_96, L*=19_96 für relative CIELAB-Buntton $h^* = lab^*h^* = h_{ab}/360 = 0.21$ $u^*_c = r75g$
 Daten für jede Farbe:
 lab^*h^* und lab^*ica^*
 Bunttonexte:
 $u^*_c = r75g$ $u^*_d = o67g$
 Kontrastreduzierungs-faktor:
 $c_{kr} = 1.0$
 Dreiecks-Helligkeit l^*

ORS19_96a adaptierte CIELAB-Daten	LAB/LCH/ab-Ma: 75 78 69
L^* , a^* , b^* , b^* , C_{ab} , h^* , u^*_c , u^*_c	L^* , a^* , b^* , b^* , C_{ab} , h^* , u^*_c , u^*_c
00g	48.88 66.47 31.67 73.63 25 m84g
02g	55.85 62.39 47.48 70.17 42 o17g
05g	65.45 55.32 58.37 68.17 59 o42g
07g	75.19 17.82 69.41 71.66 76 o67g
10g	87.03 1.35 82.83 82.19 92 o92g
12g	80.72 25.01 69.5 73.86 110 z00g
15g	70.64 39.54 51.97 65.3 127 o40g
17g	61.93 52.1 36.83 63.8 145 z72g
20g	52.8 65.28 20.93 68.56 162 i90g
25g	45.7 69.58 8.39 50.28 190 i66g
30g	57.82 38.4 28.92 48.07 217 i72g
35g	55.5 22.05 45.95 50.97 244 i11g
40g	41.6 1.37 45.01 45.03 272 c50g
45g	29.0 25.08 43.13 49.89 300 o60g
50g	38.04 46.53 28.39 54.51 329 c56g
55g	49.48 72.88 3.76 72.98 357 m11g

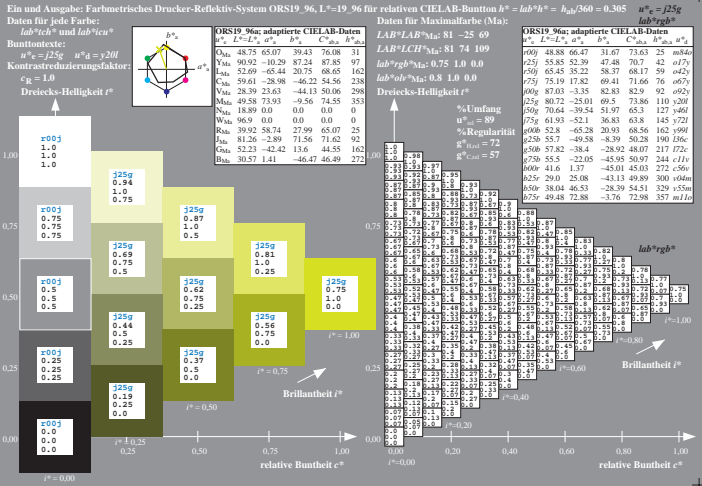
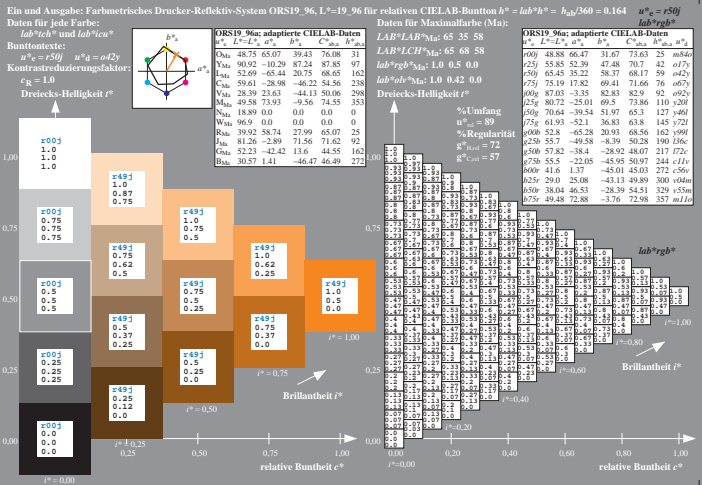
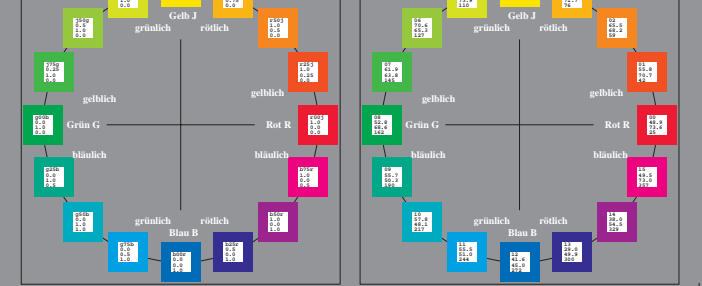
Ein und Ausgabe: Farbmetrisches Drucker-Reflexiv-System ORS19_96, L*=19_96 für relative CIELAB-Buntton $h^* = lab^*h^* = h_{ab}/360 = 0.256$ $u^*_c = j00g$
 Daten für jede Farbe:
 lab^*h^* und lab^*ica^*
 Bunttonexte:
 $u^*_c = j00g$ $u^*_d = o92g$
 Kontrastreduzierungs-faktor:
 $c_{kr} = 1.0$
 Dreiecks-Helligkeit l^*

ORS19_96a adaptierte CIELAB-Daten	LAB/LCH/ab-Ma: 87 3 83
L^* , a^* , b^* , b^* , C_{ab} , h^* , u^*_c , u^*_c	L^* , a^* , b^* , b^* , C_{ab} , h^* , u^*_c , u^*_c
00g	48.88 66.47 31.67 73.63 25 m84g
02g	55.85 62.39 47.48 70.17 42 o17g
05g	65.45 55.32 58.37 68.17 59 o42g
07g	75.19 17.82 69.41 71.66 76 o67g
10g	87.03 1.35 82.83 82.19 92 o92g
12g	80.72 25.01 69.5 73.86 110 z00g
15g	70.64 39.54 51.97 65.3 127 o40g
17g	61.93 52.1 36.83 63.8 145 z72g
20g	52.8 65.28 20.93 68.56 162 i90g
25g	45.7 69.58 8.39 50.28 190 i66g
30g	57.82 38.4 28.92 48.07 217 i72g
35g	55.5 22.05 45.95 50.97 244 i11g
40g	41.6 1.37 45.01 45.03 272 c50g
45g	29.0 25.08 43.13 49.89 300 o60g
50g	38.04 46.53 28.39 54.51 329 c56g
55g	49.48 72.88 3.76 72.98 357 m11g



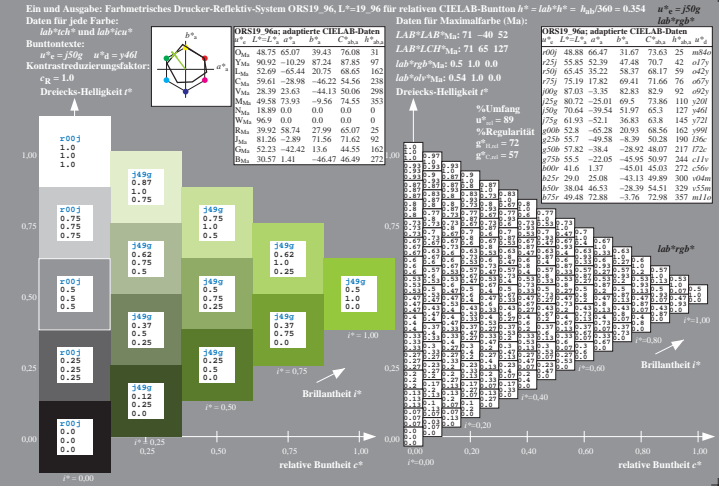
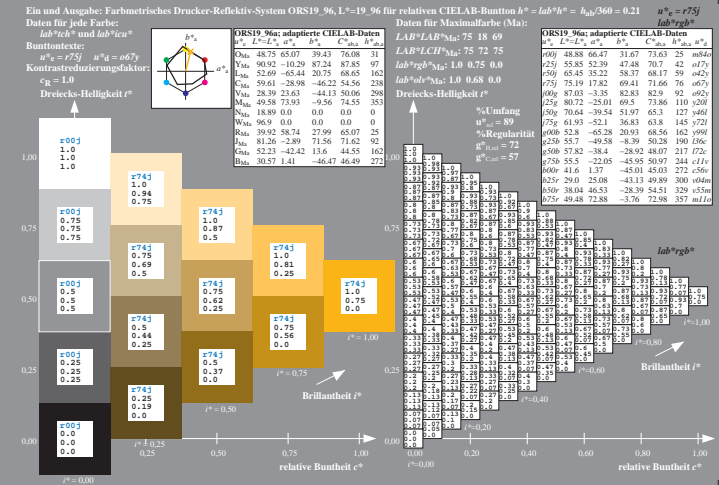
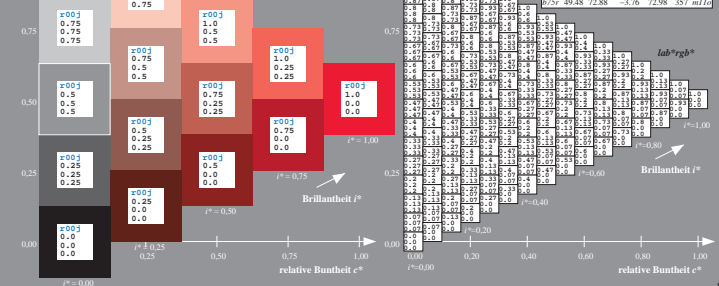
Ein und Ausgabe: Farbmetrisches Drucker-Reflexiv-System ORS19_96a
 Daten für jede Farbe: lab^*a^* und lab^*b^*
 Bunttonexte: $u^* = 16$ Bunttonexte $r00g, r25g, \dots, b75r$
 Kontrastreduzierungsfaktor: $c^* = 1.0$
 Dreiecks-Helligkeit r^*

Lab*	L*	a*	b*	C _{ab} *	h _{ab} *	u [*] _a	u [*] _b
000	48.88	66.47	31.67	73.63	25	m040	
25g	58.88	52.39	47.48	70.17	42	m074	
50g	65.48	35.22	58.37	68.17	59	m042g	
r75	75.19	17.82	69.41	71.66	76	m067g	
000	87.03	-3.35	82.83	82.9	92	m024	
25b	80.72	-25.01	69.5	73.86	110	m200g	
50b	70.64	-39.54	51.97	65.3	127	m046g	
r75g	61.93	-52.1	36.83	63.8	145	y272	
000	52.8	-65.28	20.93	68.56	162	m199g	
25r	52.8	65.28	-4.39	50.28	180	m166g	
50r	57.82	38.4	-28.92	48.07	217	r272	
75r	57.82	-22.06	-45.95	50.97	244	r114	
000	41.6	1.37	-45.01	45.03	272	e594	
25b	29.0	25.08	-43.13	49.89	300	m046m	
50b	38.04	46.53	-28.39	54.51	329	e556	
r75r	49.48	72.88	-3.76	72.98	357	m116	



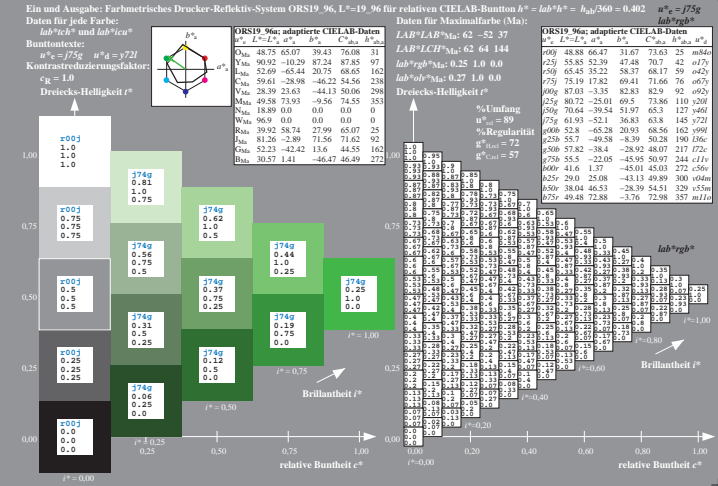
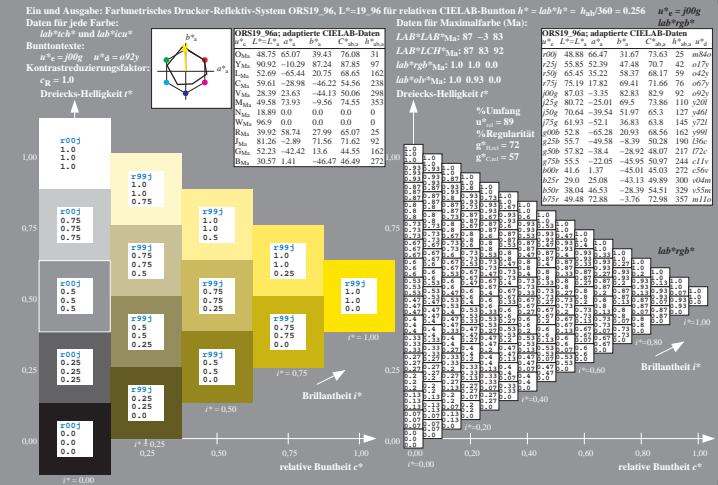
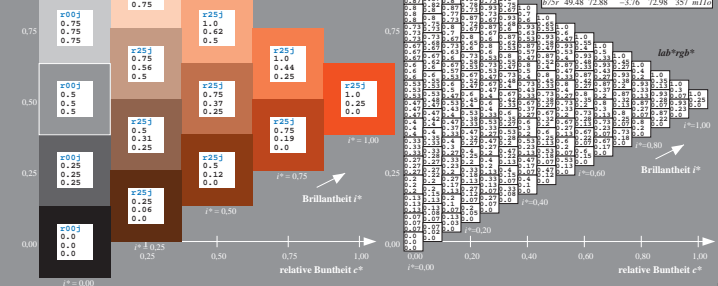
Ein und Ausgabe: Farbmetrisches Drucker-Reflexiv-System ORS19_96, L* = 19_96 für relative CIELAB-Buntton $h^* = lab^*h^* = h_{96}/360 = 0.071$ $u^* = r00g$
 Daten für jede Farbe: lab^*a^* und lab^*b^*
 Bunttonexte: $u^* = r00g$ $u^* = m040$
 Kontrastreduzierungsfaktor: $c^* = 1.0$
 Dreiecks-Helligkeit r^*

Lab*	L*	a*	b*	C _{ab} *	h _{ab} *	u [*] _a	u [*] _b
000	48.88	66.47	31.67	73.63	25	m040	
25g	58.88	52.39	47.48	70.17	42	m074	
50g	65.48	35.22	58.37	68.17	59	m042g	
r75	75.19	17.82	69.41	71.66	76	m067g	
000	87.03	-3.35	82.83	82.9	92	m024	
25b	80.72	-25.01	69.5	73.86	110	m200g	
50b	70.64	-39.54	51.97	65.3	127	m046g	
r75g	61.93	-52.1	36.83	63.8	145	y272	
000	52.8	-65.28	20.93	68.56	162	m199g	
25r	52.8	65.28	-4.39	50.28	180	m166g	
50r	57.82	38.4	-28.92	48.07	217	r272	
75r	57.82	-22.06	-45.95	50.97	244	r114	
000	41.6	1.37	-45.01	45.03	272	e594	
25b	29.0	25.08	-43.13	49.89	300	m046m	
50b	38.04	46.53	-28.39	54.51	329	e556	
r75r	49.48	72.88	-3.76	72.98	357	m116	

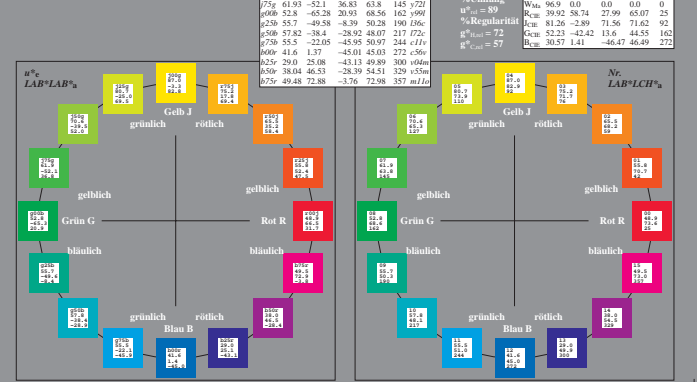


Ein und Ausgabe: Farbmetrisches Drucker-Reflexiv-System ORS19_96, L* = 19_96 für relative CIELAB-Buntton $h^* = lab^*h^* = h_{96}/360 = 0.117$ $u^* = r25g$
 Daten für jede Farbe: lab^*a^* und lab^*b^*
 Bunttonexte: $u^* = r25g$ $u^* = a^* = 0.17y$
 Kontrastreduzierungsfaktor: $c^* = 1.0$
 Dreiecks-Helligkeit r^*

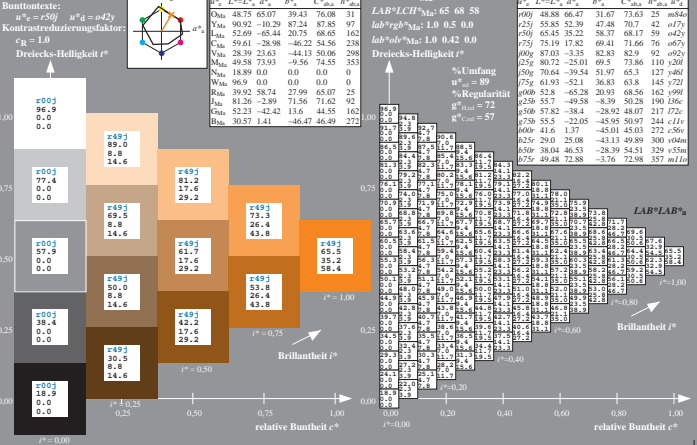
Lab*	L*	a*	b*	C _{ab} *	h _{ab} *	u [*] _a	u [*] _b
000	48.88	66.47	31.67	73.63	25	m040	
25g	58.88	52.39	47.48	70.17	42	m074	
50g	65.48	35.22	58.37	68.17	59	m042g	
r75	75.19	17.82	69.41	71.66	76	m067g	
000	87.03	-3.35	82.83	82.9	92	m024	
25b	80.72	-25.01	69.5	73.86	110	m200g	
50b	70.64	-39.54	51.97	65.3	127	m046g	
r75g	61.93	-52.1	36.83	63.8	145	y272	
000	52.8	-65.28	20.93	68.56	162	m199g	
25r	52.8	65.28	-4.39	50.28	180	m166g	
50r	57.82	38.4	-28.92	48.07	217	r272	
75r	57.82	-22.06	-45.95	50.97	244	r114	
000	41.6	1.37	-45.01	45.03	272	e594	
25b	29.0	25.08	-43.13	49.89	300	m046m	
50b	38.04	46.53	-28.39	54.51	329	e556	
r75r	49.48	72.88	-3.76	72.98	357	m116	



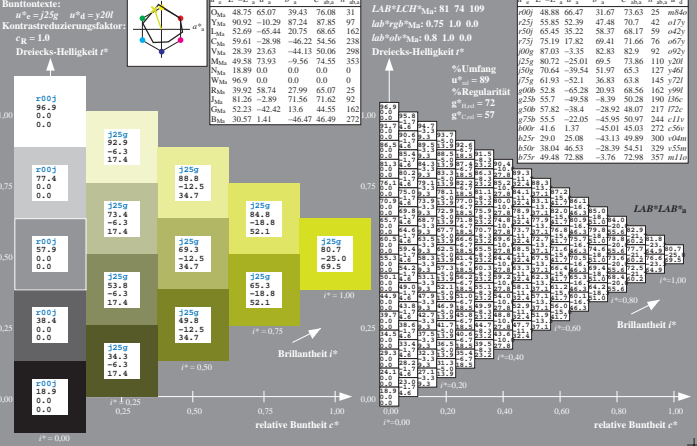
Ein und Ausgabe: Farbmetrisches Drucker-Reflexiv-System ORS19_96a
 Daten für jede Farbe:
 u^*_c und v^*_c und w^*_c
 Elementar-Bunttonste: $u^*_c = 16$ Bunttoene v^*_c , $r25j$, ..., $b75r$
 Kontrastreduzierungs-faktor:
 $c^*_c = 1.0$



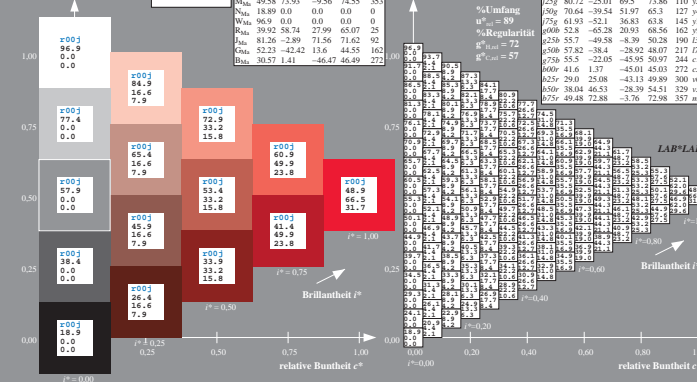
Ein und Ausgabe: Farbmetrisches Drucker-Reflexiv-System ORS19_96, L*19_96 für relative CIELAB-Buntton $h^* = lab^*h^* = h_{360}/0.164$ $u^*_c = r50j$
 Daten für jede Farbe:
 lab^*h^* und lab^*i^*
 Bunttonste: $u^*_c = r50j$ $u^*_a = 0.2j$
 Kontrastreduzierungs-faktor:
 $c^*_c = 1.0$
 Dreiecks-Heiligkeit i^*



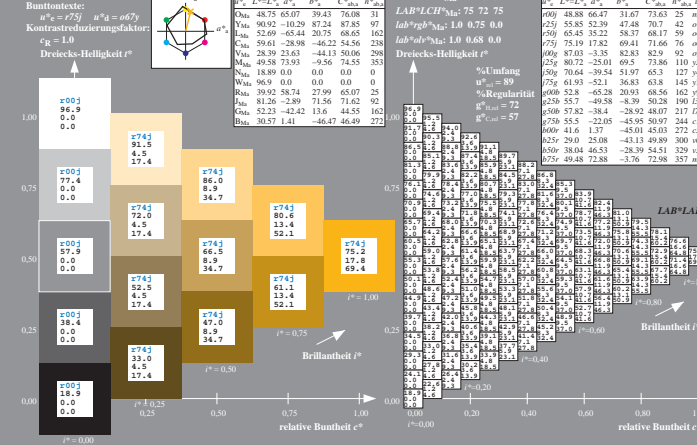
Ein und Ausgabe: Farbmetrisches Drucker-Reflexiv-System ORS19_96, L*19_96 für relative CIELAB-Buntton $h^* = lab^*h^* = h_{360}/0.305$ $u^*_c = r25jg$
 Daten für jede Farbe:
 lab^*h^* und lab^*i^*
 Bunttonste: $u^*_c = r25jg$ $u^*_a = 20h$
 Kontrastreduzierungs-faktor:
 $c^*_c = 1.0$
 Dreiecks-Heiligkeit i^*



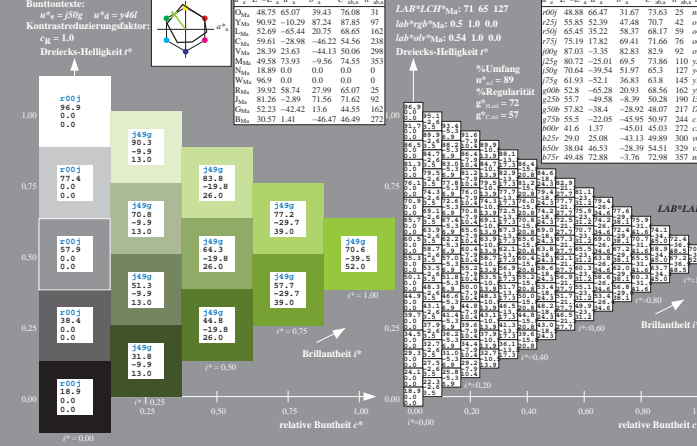
Ein und Ausgabe: Farbmetrisches Drucker-Reflexiv-System ORS19_96, L*19_96 für relative CIELAB-Buntton $h^* = lab^*h^* = h_{360}/0.071$ $u^*_c = r00j$
 Daten für jede Farbe:
 lab^*h^* und lab^*i^*
 Bunttonste: $u^*_c = r00j$ $u^*_a = m84o$
 Kontrastreduzierungs-faktor:
 $c^*_c = 1.0$
 Dreiecks-Heiligkeit i^*



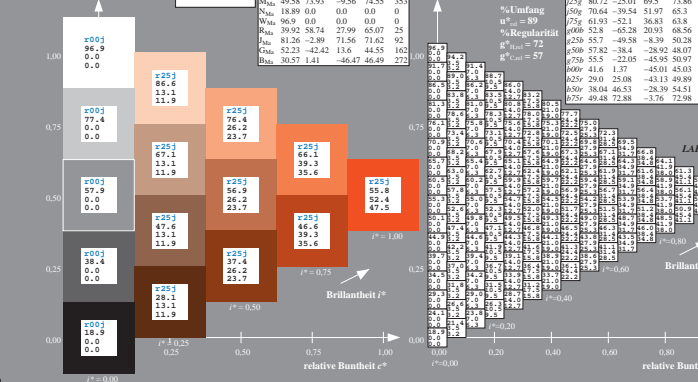
Ein und Ausgabe: Farbmetrisches Drucker-Reflexiv-System ORS19_96, L*19_96 für relative CIELAB-Buntton $h^* = lab^*h^* = h_{360}/0.21$ $u^*_c = r75j$
 Daten für jede Farbe:
 lab^*h^* und lab^*i^*
 Bunttonste: $u^*_c = r75j$ $u^*_a = 0.67j$
 Kontrastreduzierungs-faktor:
 $c^*_c = 1.0$
 Dreiecks-Heiligkeit i^*



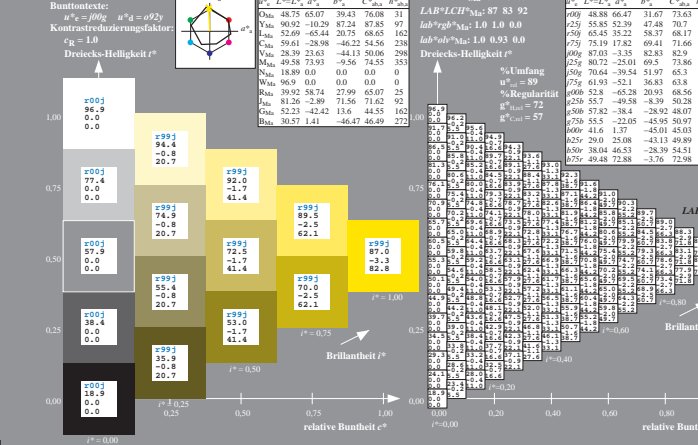
Ein und Ausgabe: Farbmetrisches Drucker-Reflexiv-System ORS19_96, L*19_96 für relative CIELAB-Buntton $h^* = lab^*h^* = h_{360}/0.354$ $u^*_c = r50jg$
 Daten für jede Farbe:
 lab^*h^* und lab^*i^*
 Bunttonste: $u^*_c = r50jg$ $u^*_a = 46f$
 Kontrastreduzierungs-faktor:
 $c^*_c = 1.0$
 Dreiecks-Heiligkeit i^*



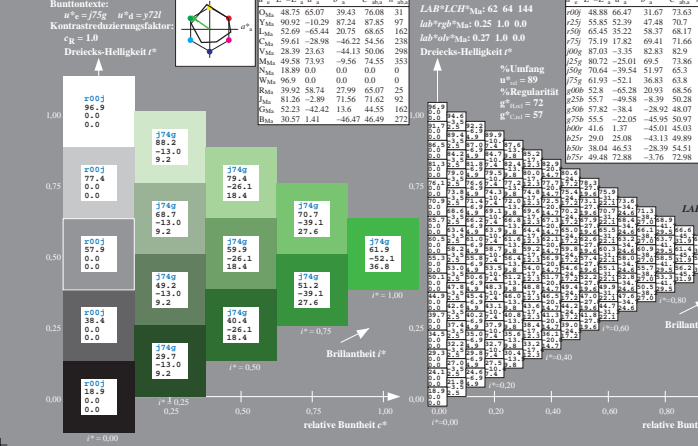
Ein und Ausgabe: Farbmetrisches Drucker-Reflexiv-System ORS19_96, L*19_96 für relative CIELAB-Buntton $h^* = lab^*h^* = h_{360}/0.117$ $u^*_c = r25j$
 Daten für jede Farbe:
 lab^*h^* und lab^*i^*
 Bunttonste: $u^*_c = r25j$ $u^*_a = 0.17j$
 Kontrastreduzierungs-faktor:
 $c^*_c = 1.0$
 Dreiecks-Heiligkeit i^*



Ein und Ausgabe: Farbmetrisches Drucker-Reflexiv-System ORS19_96, L*19_96 für relative CIELAB-Buntton $h^* = lab^*h^* = h_{360}/0.256$ $u^*_c = r100g$
 Daten für jede Farbe:
 lab^*h^* und lab^*i^*
 Bunttonste: $u^*_c = r100g$ $u^*_a = 0.92j$
 Kontrastreduzierungs-faktor:
 $c^*_c = 1.0$
 Dreiecks-Heiligkeit i^*



Ein und Ausgabe: Farbmetrisches Drucker-Reflexiv-System ORS19_96, L*19_96 für relative CIELAB-Buntton $h^* = lab^*h^* = h_{360}/0.402$ $u^*_c = r75jg$
 Daten für jede Farbe:
 lab^*h^* und lab^*i^*
 Bunttonste: $u^*_c = r75jg$ $u^*_a = 72f$
 Kontrastreduzierungs-faktor:
 $c^*_c = 1.0$
 Dreiecks-Heiligkeit i^*



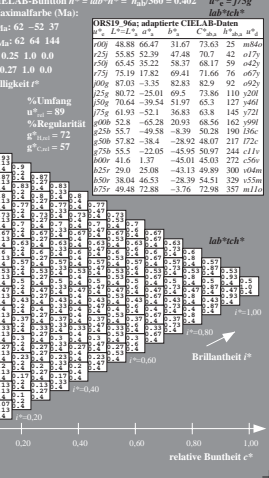
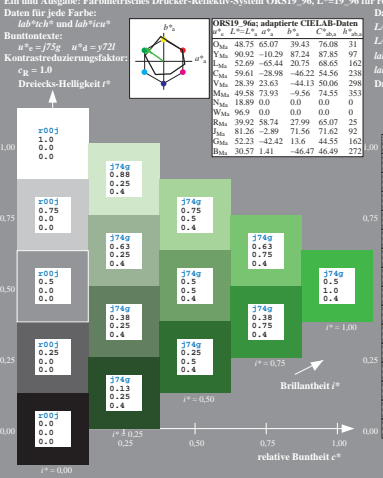
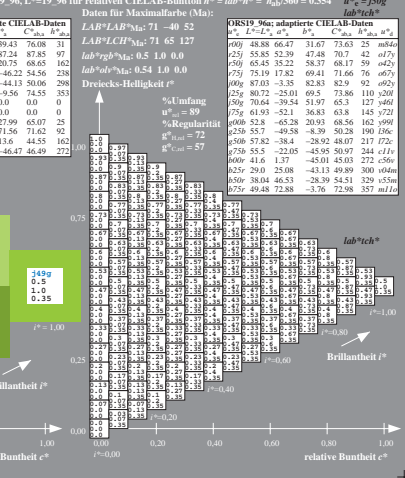
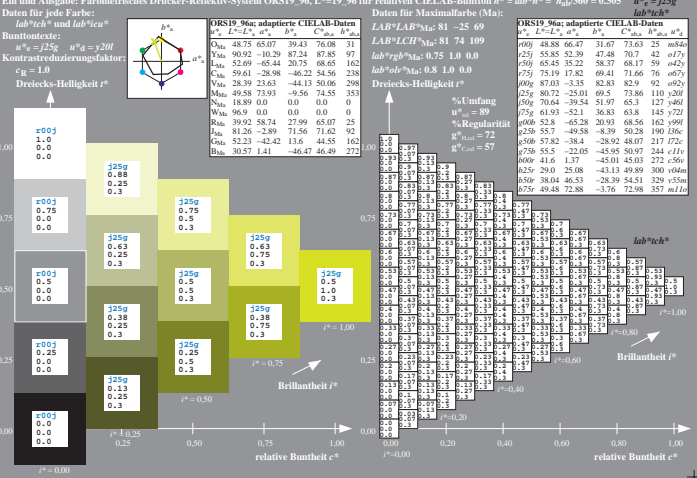
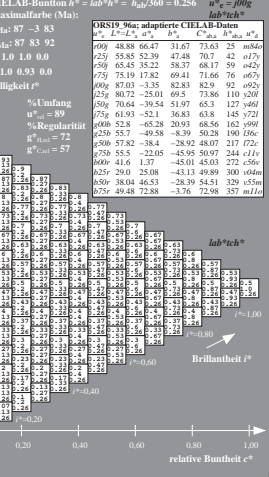
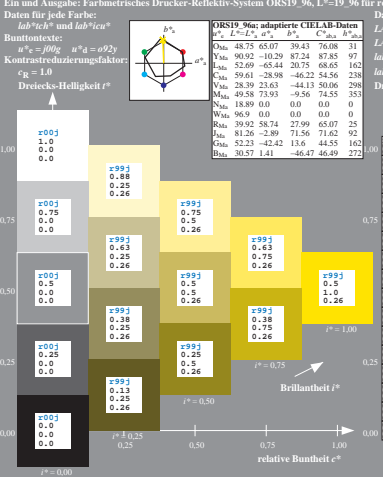
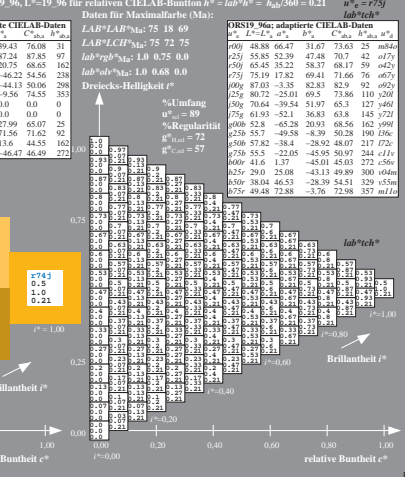
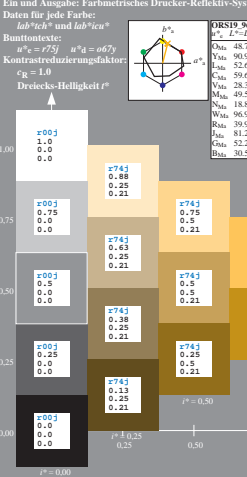
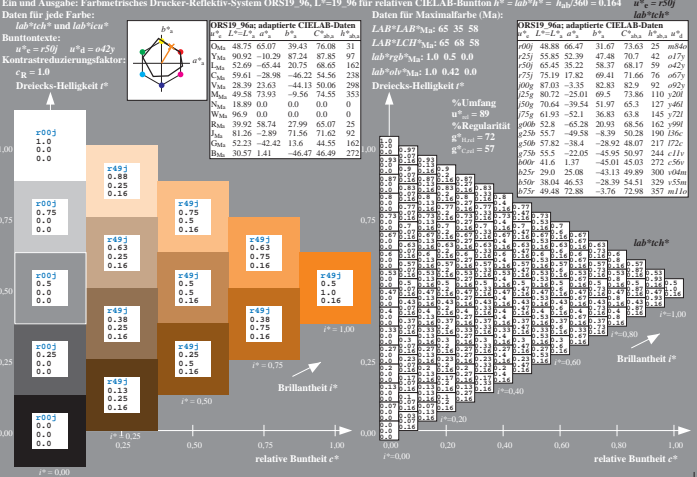
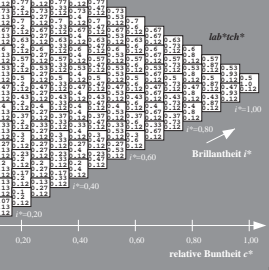
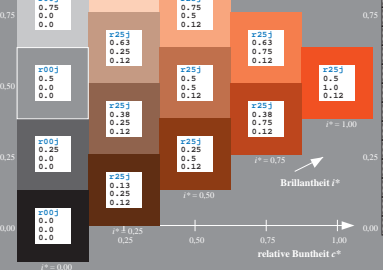
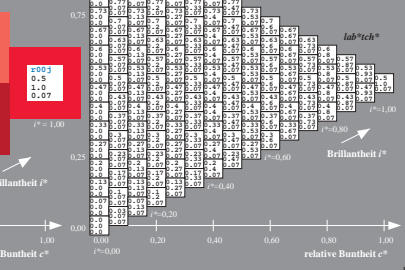
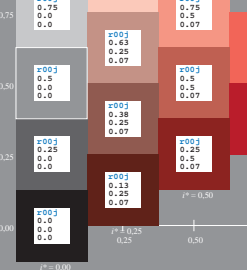
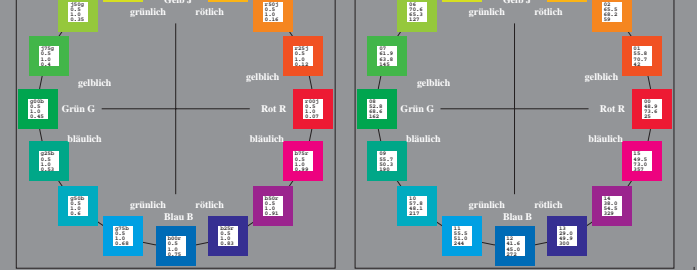
Ein und Ausgabe: Farbmetrisches Drucker-Reflexiv-System ORS19_96a
 Daten für jede Farbe:
 $u^*_c = 16$ und $v^*_m = 00$, $N_c = 00$, 15
 Elementar-Bunttonste: $u^*_c = 16$ Bunttonste $r00g$, $r25g$, ..., $b75r$
 Kontrastreduzierungsfaktor:
 $c^*_c = 1.0$

Ein und Ausgabe: Farbmetrisches Drucker-Reflexiv-System ORS19_96, L=19_96 für relative CIELAB-Buntton $h^* = lab^*h^* = h_{360}/360 = 0.071$ $u^*_c = r00g$
 Daten für jede Farbe:
 lab^*ch^* und lab^*ic^*
 Bunttonste: $u^*_c = r00g$ $u^*_m = r50g$
 Kontrastreduzierungsfaktor:
 $c^*_c = 1.0$
 Dreiecks-Helligkeit h^*

Ein und Ausgabe: Farbmetrisches Drucker-Reflexiv-System ORS19_96, L=19_96 für relative CIELAB-Buntton $h^* = lab^*h^* = h_{360}/360 = 0.117$ $u^*_c = r25g$
 Daten für jede Farbe:
 lab^*ch^* und lab^*ic^*
 Bunttonste: $u^*_c = r25g$ $u^*_m = o17r$
 Kontrastreduzierungsfaktor:
 $c^*_c = 1.0$
 Dreiecks-Helligkeit h^*

Ein und Ausgabe: Farbmetrisches Drucker-Reflexiv-System ORS19_96, L=19_96 für relative CIELAB-Buntton $h^* = lab^*h^* = h_{360}/360 = 0.164$ $u^*_c = r50g$
 Daten für jede Farbe:
 lab^*ch^* und lab^*ic^*
 Bunttonste: $u^*_c = r50g$ $u^*_m = a02r$
 Kontrastreduzierungsfaktor:
 $c^*_c = 1.0$
 Dreiecks-Helligkeit h^*

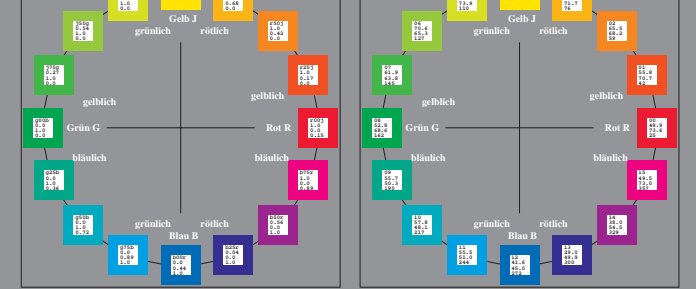
Ein und Ausgabe: Farbmetrisches Drucker-Reflexiv-System ORS19_96, L=19_96 für relative CIELAB-Buntton $h^* = lab^*h^* = h_{360}/360 = 0.211$ $u^*_c = r75g$
 Daten für jede Farbe:
 lab^*ch^* und lab^*ic^*
 Bunttonste: $u^*_c = r75g$ $u^*_m = a92r$
 Kontrastreduzierungsfaktor:
 $c^*_c = 1.0$
 Dreiecks-Helligkeit h^*



Ein und Ausgabe: Farbmetrisches Drucker-Reflexiv-System ORS19_96a
 Daten für jede Farbe:
 u^*_c und v^*_c und w^*_c = 00...15
 Elementar-Bunttonste: $u^*_c = 16$ Bunttonste $r00r, r25j, \dots, b75r$
 Kontrastreduzierungsfaktor: $c^*_{10} = 1.0$

ORS19_96a adaptierte CIELAB-Daten
 L^* , a^* , b^* , C_{ab}^* , h_{ab}^*
 Oki 48.75 65.16 40.76 76.86 32
 Yci 90.02 -0.78 89.36 90.01 97
 Lgi 52.69 -65.4 22.15 69.05 161
 Mgi 59.61 -29.04 -44.69 53.3 237
 Cgi 28.39 24.0 -43.18 49.4 299
 Mgi 49.58 74.01 -8.22 74.47 354
 Wgi 18.89 0.5 0.77 0.92 57
 Rgi 39.92 58.74 27.99 65.07 25
 Bgi 81.26 -2.89 71.56 71.62 92
 Ggi 52.23 -42.42 11.6 44.55 162
 Bgi 30.57 1.41 -46.47 46.49 272

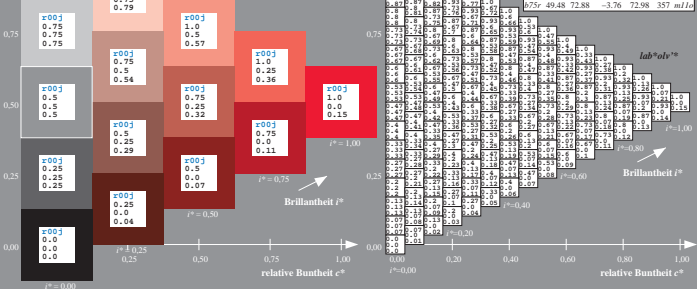
LAB/LAB*Mat: 51 25 60
 LAB/LCH*Mat: 51 25 60
 Lab*Lab*Mat: 0.75 1.0 0.0
 Dreiecks-Helligkeit r^*
 $r^*_{10} = 89$
 $r^*_{25} = 89$
 $r^*_{50} = 89$
 $r^*_{75} = 89$
 $r^*_{100} = 89$
 %Umfang $u^* = 89$
 %Regelartigkeit $r^*_{100} = 89$



Ein und Ausgabe: Farbmetrisches Drucker-Reflexiv-System ORS19_96_L=19_96 für relative CIELAB-Buntton $h^* = lab^*h^* = h_{360}/360 = 0.071$ $u^*_c = r00j$
 Daten für jede Farbe:
 lab^*a^* und lab^*b^* und lab^*c^*
 Bunttonste: $u^*_c = r00j$ $u^*_a = m84b$
 Kontrastreduzierungsfaktor: $c^*_{10} = 1.0$
 Dreiecks-Helligkeit r^*

ORS19_96a adaptierte CIELAB-Daten
 L^* , L^* , L^* , a^* , C_{ab}^* , h_{ab}^*
 Oki 48.75 65.16 40.76 76.86 32
 Yci 90.02 -0.78 89.36 90.01 97
 Lgi 52.69 -65.4 22.15 69.05 161
 Mgi 59.61 -29.04 -44.69 53.3 237
 Cgi 28.39 24.0 -43.18 49.4 299
 Mgi 49.58 74.01 -8.22 74.47 354
 Wgi 18.89 0.5 0.77 0.92 57
 Rgi 39.92 58.74 27.99 65.07 25
 Bgi 81.26 -2.89 71.56 71.62 92
 Ggi 52.23 -42.42 11.6 44.55 162
 Bgi 30.57 1.41 -46.47 46.49 272

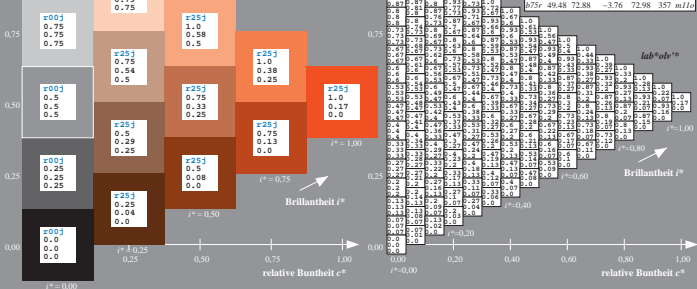
LAB/LAB*Mat: 49 66 32
 LAB/LCH*Mat: 49 66 32
 Lab*Lab*Mat: 1.0 0.0 0.15
 Dreiecks-Helligkeit r^*
 $r^*_{10} = 72$
 $r^*_{25} = 72$
 $r^*_{50} = 72$
 $r^*_{75} = 72$
 $r^*_{100} = 72$
 %Umfang $u^* = 89$
 %Regelartigkeit $r^*_{100} = 72$



Ein und Ausgabe: Farbmetrisches Drucker-Reflexiv-System ORS19_96_L=19_96 für relative CIELAB-Buntton $h^* = lab^*h^* = h_{360}/360 = 0.117$ $u^*_c = r25j$
 Daten für jede Farbe:
 lab^*a^* und lab^*b^* und lab^*c^*
 Bunttonste: $u^*_c = r25j$ $u^*_a = o17r$
 Kontrastreduzierungsfaktor: $c^*_{10} = 1.0$
 Dreiecks-Helligkeit r^*

ORS19_96a adaptierte CIELAB-Daten
 L^* , L^* , L^* , a^* , C_{ab}^* , h_{ab}^*
 Oki 48.75 65.16 40.76 76.86 32
 Yci 90.02 -0.78 89.36 90.01 97
 Lgi 52.69 -65.4 22.15 69.05 161
 Mgi 59.61 -29.04 -44.69 53.3 237
 Cgi 28.39 24.0 -43.18 49.4 299
 Mgi 49.58 74.01 -8.22 74.47 354
 Wgi 18.89 0.5 0.77 0.92 57
 Rgi 39.92 58.74 27.99 65.07 25
 Bgi 81.26 -2.89 71.56 71.62 92
 Ggi 52.23 -42.42 11.6 44.55 162
 Bgi 30.57 1.41 -46.47 46.49 272

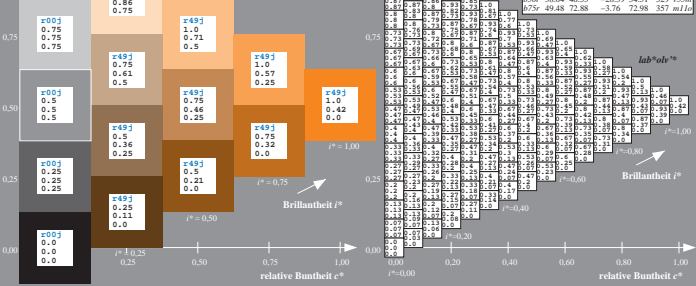
LAB/LAB*Mat: 56 52 47
 LAB/LCH*Mat: 56 52 47
 Lab*Lab*Mat: 1.0 0.25 0.0
 Dreiecks-Helligkeit r^*
 $r^*_{10} = 89$
 $r^*_{25} = 89$
 $r^*_{50} = 89$
 $r^*_{75} = 89$
 $r^*_{100} = 89$
 %Umfang $u^* = 89$
 %Regelartigkeit $r^*_{100} = 72$



Ein und Ausgabe: Farbmetrisches Drucker-Reflexiv-System ORS19_96_L=19_96 für relative CIELAB-Buntton $h^* = lab^*h^* = h_{360}/360 = 0.164$ $u^*_c = r50j$
 Daten für jede Farbe:
 lab^*a^* und lab^*b^* und lab^*c^*
 Bunttonste: $u^*_c = r50j$ $u^*_a = o42r$
 Kontrastreduzierungsfaktor: $c^*_{10} = 1.0$
 Dreiecks-Helligkeit r^*

ORS19_96a adaptierte CIELAB-Daten
 L^* , L^* , L^* , a^* , C_{ab}^* , h_{ab}^*
 Oki 48.75 65.16 40.76 76.86 32
 Yci 90.02 -0.78 89.36 90.01 97
 Lgi 52.69 -65.4 22.15 69.05 161
 Mgi 59.61 -29.04 -44.69 53.3 237
 Cgi 28.39 24.0 -43.18 49.4 299
 Mgi 49.58 74.01 -8.22 74.47 354
 Wgi 18.89 0.5 0.77 0.92 57
 Rgi 39.92 58.74 27.99 65.07 25
 Bgi 81.26 -2.89 71.56 71.62 92
 Ggi 52.23 -42.42 11.6 44.55 162
 Bgi 30.57 1.41 -46.47 46.49 272

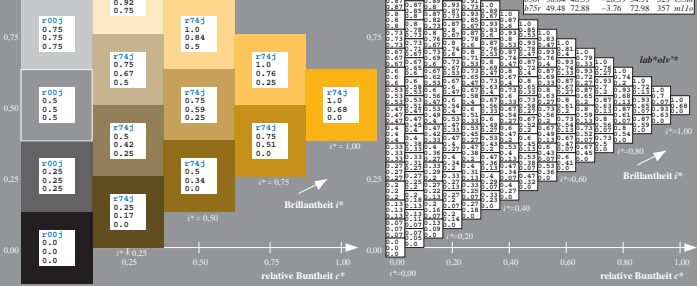
LAB/LAB*Mat: 65 35 58
 LAB/LCH*Mat: 65 35 58
 Lab*Lab*Mat: 1.0 0.5 0.0
 Dreiecks-Helligkeit r^*
 $r^*_{10} = 89$
 $r^*_{25} = 89$
 $r^*_{50} = 89$
 $r^*_{75} = 89$
 $r^*_{100} = 89$
 %Umfang $u^* = 89$
 %Regelartigkeit $r^*_{100} = 72$



Ein und Ausgabe: Farbmetrisches Drucker-Reflexiv-System ORS19_96_L=19_96 für relative CIELAB-Buntton $h^* = lab^*h^* = h_{360}/360 = 0.21$ $u^*_c = r75j$
 Daten für jede Farbe:
 lab^*a^* und lab^*b^* und lab^*c^*
 Bunttonste: $u^*_c = r75j$ $u^*_a = o67r$
 Kontrastreduzierungsfaktor: $c^*_{10} = 1.0$
 Dreiecks-Helligkeit r^*

ORS19_96a adaptierte CIELAB-Daten
 L^* , L^* , L^* , a^* , C_{ab}^* , h_{ab}^*
 Oki 48.75 65.16 40.76 76.86 32
 Yci 90.02 -0.78 89.36 90.01 97
 Lgi 52.69 -65.4 22.15 69.05 161
 Mgi 59.61 -29.04 -44.69 53.3 237
 Cgi 28.39 24.0 -43.18 49.4 299
 Mgi 49.58 74.01 -8.22 74.47 354
 Wgi 18.89 0.5 0.77 0.92 57
 Rgi 39.92 58.74 27.99 65.07 25
 Bgi 81.26 -2.89 71.56 71.62 92
 Ggi 52.23 -42.42 11.6 44.55 162
 Bgi 30.57 1.41 -46.47 46.49 272

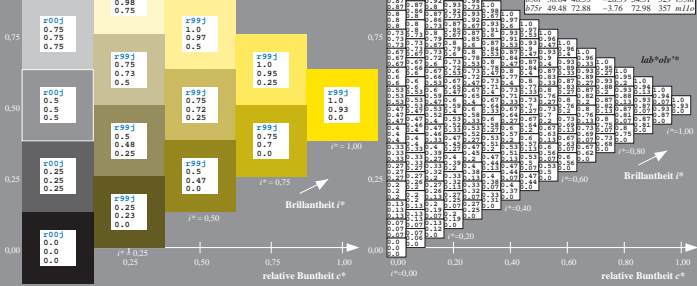
LAB/LAB*Mat: 75 18 69
 LAB/LCH*Mat: 75 18 69
 Lab*Lab*Mat: 1.0 0.25 0.0
 Dreiecks-Helligkeit r^*
 $r^*_{10} = 89$
 $r^*_{25} = 89$
 $r^*_{50} = 89$
 $r^*_{75} = 89$
 $r^*_{100} = 89$
 %Umfang $u^* = 89$
 %Regelartigkeit $r^*_{100} = 72$



Ein und Ausgabe: Farbmetrisches Drucker-Reflexiv-System ORS19_96_L=19_96 für relative CIELAB-Buntton $h^* = lab^*h^* = h_{360}/360 = 0.256$ $u^*_c = r100g$
 Daten für jede Farbe:
 lab^*a^* und lab^*b^* und lab^*c^*
 Bunttonste: $u^*_c = r100g$ $u^*_a = o92r$
 Kontrastreduzierungsfaktor: $c^*_{10} = 1.0$
 Dreiecks-Helligkeit r^*

ORS19_96a adaptierte CIELAB-Daten
 L^* , L^* , L^* , a^* , C_{ab}^* , h_{ab}^*
 Oki 48.75 65.16 40.76 76.86 32
 Yci 90.02 -0.78 89.36 90.01 97
 Lgi 52.69 -65.4 22.15 69.05 161
 Mgi 59.61 -29.04 -44.69 53.3 237
 Cgi 28.39 24.0 -43.18 49.4 299
 Mgi 49.58 74.01 -8.22 74.47 354
 Wgi 18.89 0.5 0.77 0.92 57
 Rgi 39.92 58.74 27.99 65.07 25
 Bgi 81.26 -2.89 71.56 71.62 92
 Ggi 52.23 -42.42 11.6 44.55 162
 Bgi 30.57 1.41 -46.47 46.49 272

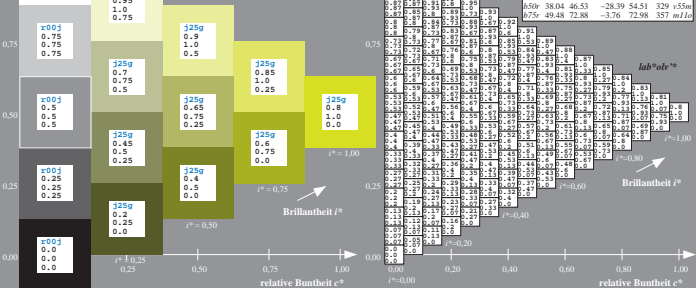
LAB/LAB*Mat: 87 -3 83
 LAB/LCH*Mat: 87 -3 83
 Lab*Lab*Mat: 1.0 1.0 0.0
 Dreiecks-Helligkeit r^*
 $r^*_{10} = 89$
 $r^*_{25} = 89$
 $r^*_{50} = 89$
 $r^*_{75} = 89$
 $r^*_{100} = 89$
 %Umfang $u^* = 89$
 %Regelartigkeit $r^*_{100} = 72$



Ein und Ausgabe: Farbmetrisches Drucker-Reflexiv-System ORS19_96_L=19_96 für relative CIELAB-Buntton $h^* = lab^*h^* = h_{360}/360 = 0.305$ $u^*_c = r25g$
 Daten für jede Farbe:
 lab^*a^* und lab^*b^* und lab^*c^*
 Bunttonste: $u^*_c = r25g$ $u^*_a = z01r$
 Kontrastreduzierungsfaktor: $c^*_{10} = 1.0$
 Dreiecks-Helligkeit r^*

ORS19_96a adaptierte CIELAB-Daten
 L^* , L^* , L^* , a^* , C_{ab}^* , h_{ab}^*
 Oki 48.75 65.16 40.76 76.86 32
 Yci 90.02 -0.78 89.36 90.01 97
 Lgi 52.69 -65.4 22.15 69.05 161
 Mgi 59.61 -29.04 -44.69 53.3 237
 Cgi 28.39 24.0 -43.18 49.4 299
 Mgi 49.58 74.01 -8.22 74.47 354
 Wgi 18.89 0.5 0.77 0.92 57
 Rgi 39.92 58.74 27.99 65.07 25
 Bgi 81.26 -2.89 71.56 71.62 92
 Ggi 52.23 -42.42 11.6 44.55 162
 Bgi 30.57 1.41 -46.47 46.49 272

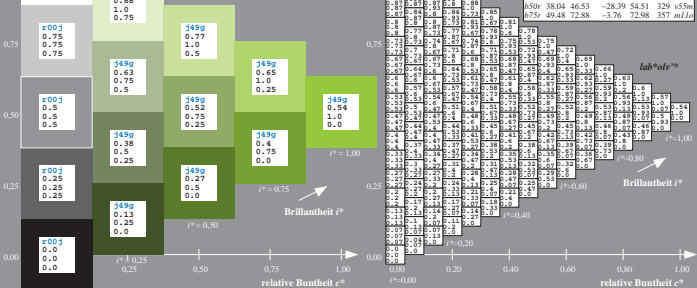
LAB/LAB*Mat: 81 25 60
 LAB/LCH*Mat: 81 25 60
 Lab*Lab*Mat: 0.75 1.0 0.0
 Dreiecks-Helligkeit r^*
 $r^*_{10} = 89$
 $r^*_{25} = 89$
 $r^*_{50} = 89$
 $r^*_{75} = 89$
 $r^*_{100} = 89$
 %Umfang $u^* = 89$
 %Regelartigkeit $r^*_{100} = 72$



Ein und Ausgabe: Farbmetrisches Drucker-Reflexiv-System ORS19_96_L=19_96 für relative CIELAB-Buntton $h^* = lab^*h^* = h_{360}/360 = 0.354$ $u^*_c = r50g$
 Daten für jede Farbe:
 lab^*a^* und lab^*b^* und lab^*c^*
 Bunttonste: $u^*_c = r50g$ $u^*_a = z61r$
 Kontrastreduzierungsfaktor: $c^*_{10} = 1.0$
 Dreiecks-Helligkeit r^*

ORS19_96a adaptierte CIELAB-Daten
 L^* , L^* , L^* , a^* , C_{ab}^* , h_{ab}^*
 Oki 48.75 65.16 40.76 76.86 32
 Yci 90.02 -0.78 89.36 90.01 97
 Lgi 52.69 -65.4 22.15 69.05 161
 Mgi 59.61 -29.04 -44.69 53.3 237
 Cgi 28.39 24.0 -43.18 49.4 299
 Mgi 49.58 74.01 -8.22 74.47 354
 Wgi 18.89 0.5 0.77 0.92 57
 Rgi 39.92 58.74 27.99 65.07 25
 Bgi 81.26 -2.89 71.56 71.62 92
 Ggi 52.23 -42.42 11.6 44.55 162
 Bgi 30.57 1.41 -46.47 46.49 272

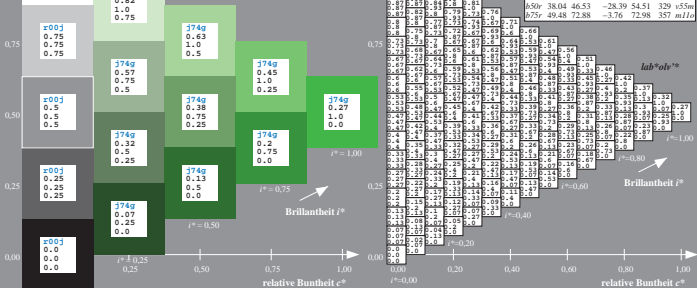
LAB/LAB*Mat: 71 49 52
 LAB/LCH*Mat: 71 49 52
 Lab*Lab*Mat: 0.5 1.0 0.0
 Dreiecks-Helligkeit r^*
 $r^*_{10} = 89$
 $r^*_{25} = 89$
 $r^*_{50} = 89$
 $r^*_{75} = 89$
 $r^*_{100} = 89$
 %Umfang $u^* = 89$
 %Regelartigkeit $r^*_{100} = 72$



Ein und Ausgabe: Farbmetrisches Drucker-Reflexiv-System ORS19_96_L=19_96 für relative CIELAB-Buntton $h^* = lab^*h^* = h_{360}/360 = 0.402$ $u^*_c = r75g$
 Daten für jede Farbe:
 lab^*a^* und lab^*b^* und lab^*c^*
 Bunttonste: $u^*_c = r75g$ $u^*_a = z72r$
 Kontrastreduzierungsfaktor: $c^*_{10} = 1.0$
 Dreiecks-Helligkeit r^*

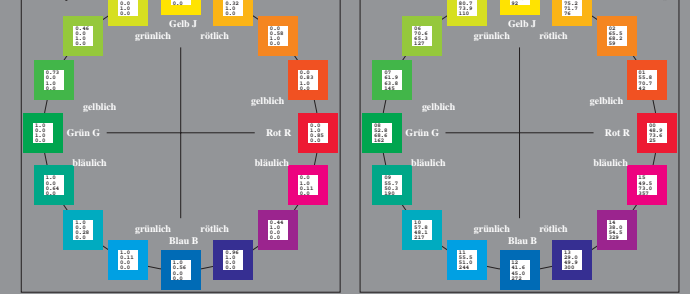
ORS19_96a adaptierte CIELAB-Daten
 L^* , L^* , L^* , a^* , C_{ab}^* , h_{ab}^*
 Oki 48.75 65.16 40.76 76.86 32
 Yci 90.02 -0.78 89.36 90.01 97
 Lgi 52.69 -65.4 22.15 69.05 161
 Mgi 59.61 -29.04 -44.69 53.3 237
 Cgi 28.39 24.0 -43.18 49.4 299
 Mgi 49.58 74.01 -8.22 74.47 354
 Wgi 18.89 0.5 0.77 0.92 57
 Rgi 39.92 58.74 27.99 65.07 25
 Bgi 81.26 -2.89 71.56 71.62 92
 Ggi 52.23 -42.42 11.6 44.55 162
 Bgi 30.57 1.41 -46.47 46.49 272

LAB/LAB*Mat: 62 -52 37
 LAB/LCH*Mat: 62 -52 37
 Lab*Lab*Mat: 0.25 1.0 0.0
 Dreiecks-Helligkeit r^*
 $r^*_{10} = 89$
 $r^*_{25} = 89$
 $r^*_{50} = 89$
 $r^*_{75} = 89$
 $r^*_{100} = 89$
 %Umfang $u^* = 89$
 %Regelartigkeit $r^*_{100} = 72$

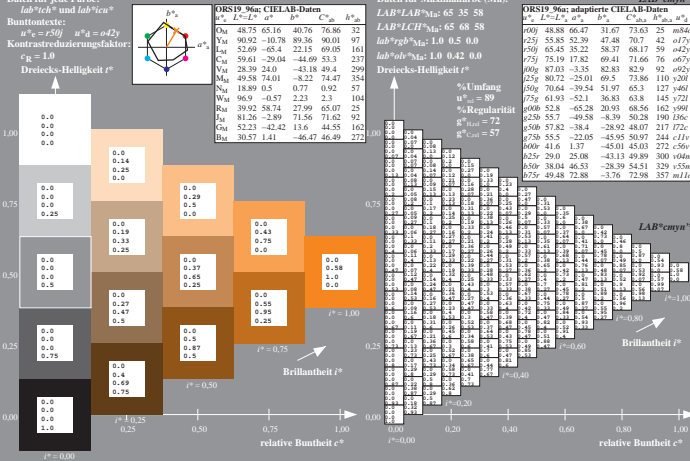


Ein und Ausgabe: Farbmetrisches Drucker-Reflexiv-System ORS19_96a
 Daten für jede Farbe:
 u^*_c und Nummer $N_c = 00...15$
 Elementar-Bunttonste: $u^*_c = 16$ Bunttonste $r00r, r25j, \dots, b75r$
 Kontrastreduzierungsfaktor:
 $c^*_{10} = 1.0$

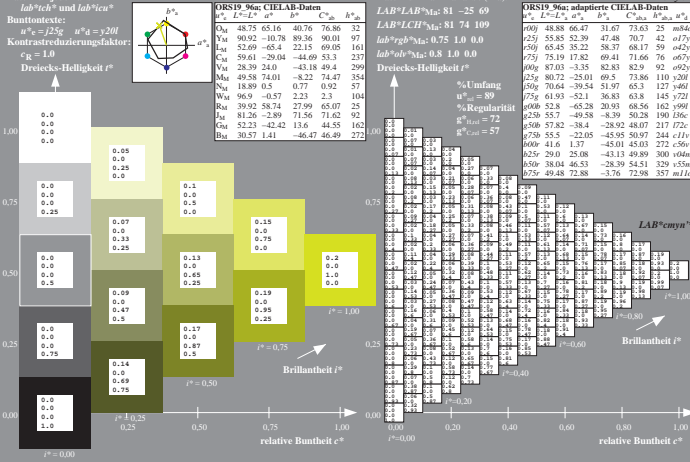
ORS19_96a adaptierte CIELAB-Daten	LAB/LAB*Ma: 55 68 58
L^* a^* b^*	L^* a^* b^*
Okl	48.75 65.16 40.76 76.86 32
Yel	90.02 -0.78 89.36 90.01 97
Lgr	52.69 -65.4 22.15 69.05 161
Bl	59.61 -29.04 -44.69 53.3 237
Mg	28.39 24.0 -43.18 49.4 299
Mw	49.58 74.01 -8.22 74.47 354
Ww	18.89 0.5 0.77 0.92 57
Rd	39.92 58.74 27.99 65.07 25
Rg	81.26 -2.89 71.56 71.62 92
Ga	52.23 -42.42 13.6 44.55 162
Gb	30.57 1.41 -46.47 46.49 272



Ein und Ausgabe: Farbmetrisches Drucker-Reflexiv-System ORS19_96, L*19_96 für relative CIELAB-Buntton $h^* = lab^*h^* = h_{360}/360 = 0.164$ $u^*_c = r50j$
 Daten für jede Farbe:
 lab^*h^* und $lab^*h^*c^*$
 Bunttonste: $u^*_c = r50j$ $u^*_a = 0.2j$
 Kontrastreduzierungsfaktor:
 $c^*_{10} = 1.0$
 Dreiecks-Helligkeit h^*

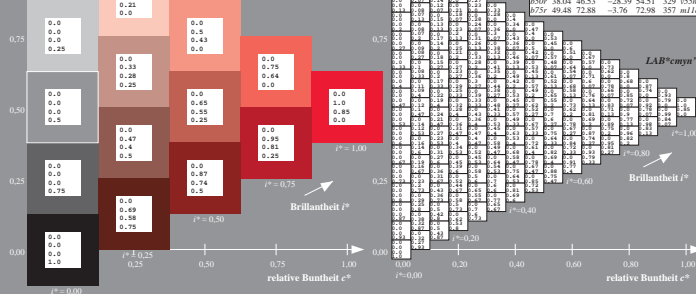


Ein und Ausgabe: Farbmetrisches Drucker-Reflexiv-System ORS19_96, L*19_96 für relative CIELAB-Buntton $h^* = lab^*h^* = h_{360}/360 = 0.305$ $u^*_c = j25g$
 Daten für jede Farbe:
 lab^*h^* und $lab^*h^*c^*$
 Bunttonste: $u^*_c = j25g$ $u^*_a = 0.20l$
 Kontrastreduzierungsfaktor:
 $c^*_{10} = 1.0$
 Dreiecks-Helligkeit h^*

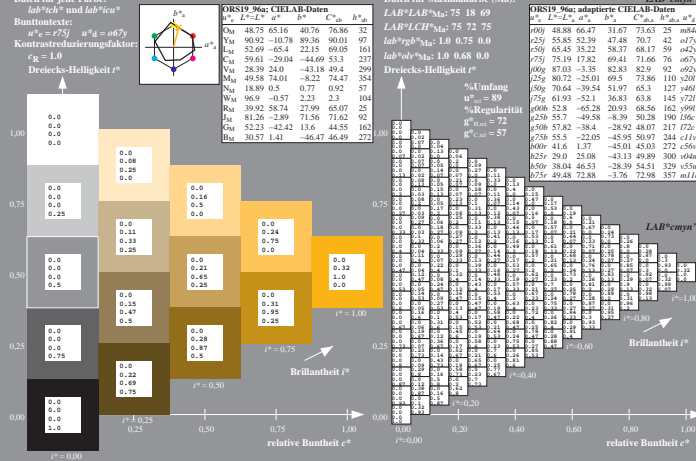


Ein und Ausgabe: Farbmetrisches Drucker-Reflexiv-System ORS19_96, L*19_96 für relative CIELAB-Buntton $h^* = lab^*h^* = h_{360}/360 = 0.071$ $u^*_c = r00j$
 Daten für jede Farbe:
 lab^*h^* und $lab^*h^*c^*$
 Bunttonste: $u^*_c = r00j$ $u^*_a = m84o$
 Kontrastreduzierungsfaktor:
 $c^*_{10} = 1.0$
 Dreiecks-Helligkeit h^*

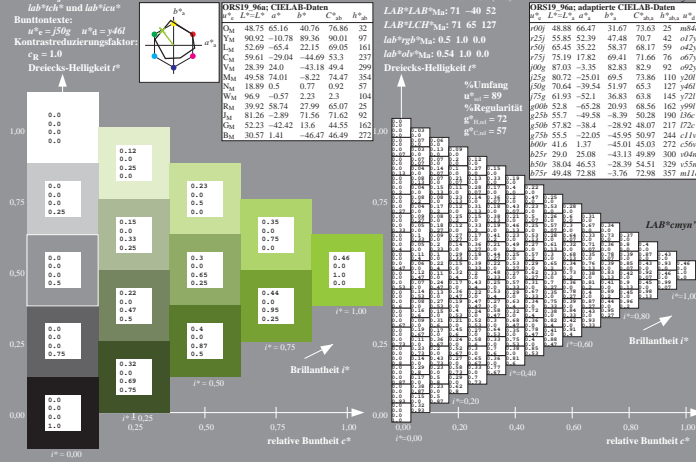
ORS19_96a adaptierte CIELAB-Daten	LAB/LAB*Ma: 49 66 32
L^* a^* b^*	L^* a^* b^*
Okl	48.75 65.16 40.76 76.86 32
Yel	90.02 -0.78 89.36 90.01 97
Lgr	52.69 -65.4 22.15 69.05 161
Bl	59.61 -29.04 -44.69 53.3 237
Mg	28.39 24.0 -43.18 49.4 299
Mw	49.58 74.01 -8.22 74.47 354
Ww	18.89 0.5 0.77 0.92 57
Rd	39.92 58.74 27.99 65.07 25
Rg	81.26 -2.89 71.56 71.62 92
Ga	52.23 -42.42 13.6 44.55 162
Gb	30.57 1.41 -46.47 46.49 272



Ein und Ausgabe: Farbmetrisches Drucker-Reflexiv-System ORS19_96, L*19_96 für relative CIELAB-Buntton $h^* = lab^*h^* = h_{360}/360 = 0.21$ $u^*_c = r75j$
 Daten für jede Farbe:
 lab^*h^* und $lab^*h^*c^*$
 Bunttonste: $u^*_c = r75j$ $u^*_a = 0.67j$
 Kontrastreduzierungsfaktor:
 $c^*_{10} = 1.0$
 Dreiecks-Helligkeit h^*

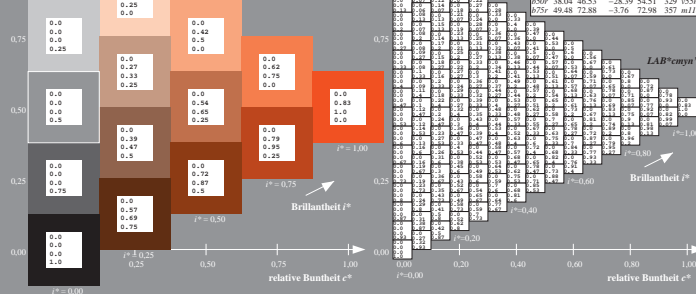


Ein und Ausgabe: Farbmetrisches Drucker-Reflexiv-System ORS19_96, L*19_96 für relative CIELAB-Buntton $h^* = lab^*h^* = h_{360}/360 = 0.354$ $u^*_c = j50g$
 Daten für jede Farbe:
 lab^*h^* und $lab^*h^*c^*$
 Bunttonste: $u^*_c = j50g$ $u^*_a = 0.40l$
 Kontrastreduzierungsfaktor:
 $c^*_{10} = 1.0$
 Dreiecks-Helligkeit h^*

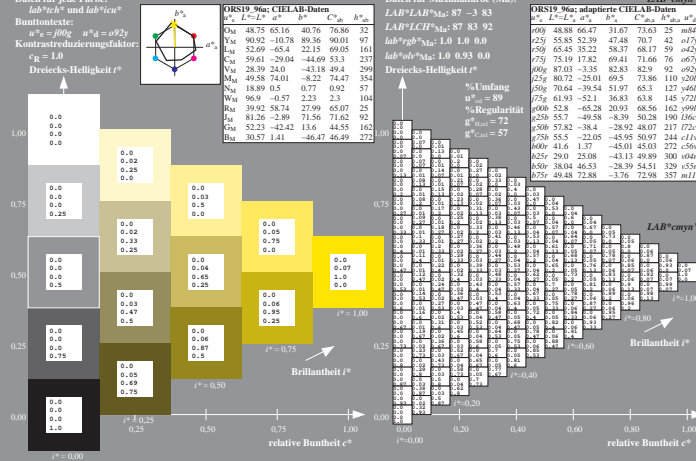


Ein und Ausgabe: Farbmetrisches Drucker-Reflexiv-System ORS19_96, L*19_96 für relative CIELAB-Buntton $h^* = lab^*h^* = h_{360}/360 = 0.117$ $u^*_c = r25j$
 Daten für jede Farbe:
 lab^*h^* und $lab^*h^*c^*$
 Bunttonste: $u^*_c = r25j$ $u^*_a = 0.17j$
 Kontrastreduzierungsfaktor:
 $c^*_{10} = 1.0$
 Dreiecks-Helligkeit h^*

ORS19_96a adaptierte CIELAB-Daten	LAB/LAB*Ma: 56 52 47
L^* a^* b^*	L^* a^* b^*
Okl	48.75 65.16 40.76 76.86 32
Yel	90.02 -0.78 89.36 90.01 97
Lgr	52.69 -65.4 22.15 69.05 161
Bl	59.61 -29.04 -44.69 53.3 237
Mg	28.39 24.0 -43.18 49.4 299
Mw	49.58 74.01 -8.22 74.47 354
Ww	18.89 0.5 0.77 0.92 57
Rd	39.92 58.74 27.99 65.07 25
Rg	81.26 -2.89 71.56 71.62 92
Ga	52.23 -42.42 13.6 44.55 162
Gb	30.57 1.41 -46.47 46.49 272



Ein und Ausgabe: Farbmetrisches Drucker-Reflexiv-System ORS19_96, L*19_96 für relative CIELAB-Buntton $h^* = lab^*h^* = h_{360}/360 = 0.256$ $u^*_c = j00g$
 Daten für jede Farbe:
 lab^*h^* und $lab^*h^*c^*$
 Bunttonste: $u^*_c = j00g$ $u^*_a = 0.92j$
 Kontrastreduzierungsfaktor:
 $c^*_{10} = 1.0$
 Dreiecks-Helligkeit h^*



Ein und Ausgabe: Farbmetrisches Drucker-Reflexiv-System ORS19_96, L*19_96 für relative CIELAB-Buntton $h^* = lab^*h^* = h_{360}/360 = 0.402$ $u^*_c = j75g$
 Daten für jede Farbe:
 lab^*h^* und $lab^*h^*c^*$
 Bunttonste: $u^*_c = j75g$ $u^*_a = 0.72j$
 Kontrastreduzierungsfaktor:
 $c^*_{10} = 1.0$
 Dreiecks-Helligkeit h^*

